

# 平面の傾きと運動の検出

Detection of Surface Orientation and Motion

金谷健一 (群馬大学工学部情報工学科)

Ken-ichi Kanatani (Department of Computer Science, Gunma University)

A new method is given to detect the surface orientation and motion from a projected texture, making use of "integral geometry" or "stereology". Information about the surface orientation is given by "features" computed from the number of intersections with the curves in the texture by parallel line scanning. A slight modification of this method can also detect the motion of the surface relative to the viewer.

## 1.はじめに

面の3次元空間内での向きを2次元画像上のいかで決定することはコンピュータービジョンの重要なテーマのひとつであり、いろいろな手法が考えられる。そのひとつは面上のテキスチャに着目するものである。たとえば面上に一様なパターンが繰り返されているとすると、観点から離れるにつれて、そのパターンの並びが密になる。従って、そのようなみかけの密度を微分すれば傾きの方向がわかる。このような原理に基づいたものは多い。一方、このテキスチャの「一様性」を仮定しないものとして、Witkin[1]はテキスチャの「等方性」に着目した。ここで等方性ひとつのは、テキスチャの線図形を多数の微小線素に分割したとき、あらゆる方向の微小線素がほぼどの方向につけても等しく割合で含まれていることという。もし、もともとのテキスチャが等方性ではなく、ある特定の方向を向いた線の割合が多めと、それはあたかも投影図のように見える、といったらWitkinはそのようなものを避け、等方性のものだけを考慮した。

彼の手順は次の通りである。  
(1)まず画像上のテキスチャの線図形を微小線素に分割して方向ごとに分類し、ヒストグラムを作る。  
(2)面の傾きは「スラング」と「ティルト」での2パラメータで指

定されるので、ある( $\sigma, \tau$ )を仮定したとき、観測されたデータヒストグラムが一様分布から得られる確率(正確には尤度)  $P(\sigma, \tau)$  を計算する。  
(3)これをあらゆる可能な( $\sigma, \tau$ )について行なう、その2次元領域上で  $P(\sigma, \tau)$  が最大になる点を探索する、これが求める解である。

従来のコンピュータービジョンの教科書を見ればわかるように、何とかの解を求めるのに反復探索の原理が広く用いられている。これは要するに、いろいろな可能性を次々と調べて、データと最もよく適合するものを探す、という最も原始的で最初に思いつくものである。そのためにはいろいろの距離関数とか相関関数、コスト関数が試行錯誤的に提案されてくる。このような反復探索の原理は何にでも適用できるところ汎用性の長所のある反面、ひとつより、正にそのためには多くの計算時間を要し、正解に収束しないことも多い。(特にコスト関数は局所的な極大極小がある場合など)。収束を速め、確実なものにするにはより初期近似解を予えなければならぬ。

以上のように、反復探索ではなく、直接的計算によつて解を得ることは、それがたとえ後は近似解であらうにせよ、極めて重要なことであるといわねばならぬ。ここでは最初に Witkin と全く同じ前提を立て、直接的計算で解を求める。その手法はパターン認識で用いられているもの

であり、多数のデータからある少數のパラメータ（「特微量」とよぶ）を計算し、その特微量だけから代数的計算によつて直接に解を得るものである。ここで用いる特微量は線素の方向の分布密度関数の2次のFourier係数である。これが適切なのは、これが「ステレオロジー」または「積分幾何学」の原理によつて圓形から直接に計測できるからである。次に、この手法を少し修正すれば、單に面の向きだけでなく、面の相対的回転、すなへう3次元空間における運動を検出できることを示す。この場合、等方性の仮定する必要である。

## 2. Buffon変換とステレオロジー

線素の分布密度関数を  $f(\theta)$  とする。すなへう、線圓形を長さ  $d\ell$  の微小線素に分割したとき、方向が  $\theta$  と  $\theta+d\theta$  の間にあらうものの総長を単位面積当たり  $f(\theta)d\theta$  とする。ただし、微小線素の向きをどうとるかにより、向きが  $\theta$ 、 $\theta+\pi$  となるので、各線素ごとに独立にランダムに確率  $1/2$  でどちらかに決めると約束する。（實際は  $0 \leq \theta < \pi$  で考えてから半分にして残りを  $\pi \leq \theta < 2\pi$  に割り当つればよい。）  $f(\theta)$  は「点對称」、すなへう  $f(\theta) = f(\theta + \pi)$  であり、 $\int_0^{2\pi} f(\theta) d\theta$  が単位面積当たりの総長である。

この平面上に方向中の直線をランダムに置くとする。方向が  $\theta$  と  $\theta+d\theta$  の間の長さ  $d\ell$  の微小線素はその中心が図1の幅  $| \sin(\theta - \theta') | d\theta$  の領域に落ちるとき直線と交わる。単位面積当たりそのような線素が、 $f(\theta) d\theta / d\ell$  だけあるから、直線の単位長さ部分に交わるもののが数は  $| \sin(\theta - \theta') | f(\theta) d\theta$  である。ゆえに、図

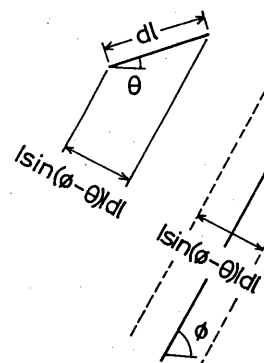


図1. 線素と走査線。

形との交点の期待値は直線の単位長さ当たり

$$N(\phi) = \int_0^{2\pi} | \sin(\phi - \theta) | f(\theta) d\theta \quad (1)$$

となる。（たゞ、て、十分多數の直線によつて走査して交点数を求めれば「大数の法則」によつて式(1)が實際の単位長さ当たりの交点数となる。（金谷[2][3]は式(1)を3次元の場合の面や線との関係に一般化してテニツル関係式に書めし、Buffon変換とよんだ。）

もし式(1)の逆変換がわかれれば、交点数  $N(\phi)$  の測定によつて分布密度  $f(\theta)$  がわかれることになる。式(1)は単位円周上の関数間の変換を表めしといふが、この変換は  $\sin n\theta$ ,  $\cos n\theta$  を固有関数とし、その固有値はともに  $C/(1-n^2)$  であることがわかる。（直接確かめてよいが、式(1)の変換が回転群と可換な不变作用素であることと、既約表現の直交性、Schurの補題に着目すればすぐわかる。詳細は金谷[2]。） ゆえに、 $N(\phi)$  をFourier級数に展開して

$$N(\phi) = \frac{C}{2\pi} \left[ 1 + \sum_{n=2}^{\infty} (A_n \cos n\phi + B_n \sin n\phi) \right] \quad (2)$$

と表めせば、分布密度  $f(\theta)$  は

$$f(\theta) = \frac{C/4}{2\pi} \left[ 1 - \sum_{n=2}^{\infty} (n^2 - 1)(A_n \cos n\theta + B_n \sin n\theta) \right] \quad (3)$$

となる。ただし  $\Sigma'$  は偶数のみに関する和を表す。 $f(\theta)$  も  $N(\phi)$  も点對称のため、奇数次のFourier成分は現われない。實際には高調波成分は雜音の影響を受けて

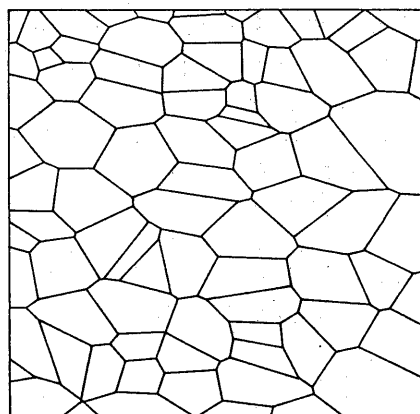


図2. 非等方なテキスチャ。

いので2次まで考え、実際問題ではこれで十分である。測定によつて計算できる $N(\phi)$ の値は有限個の中に対するものであるから、 $C, A_2, B_2$ は離散Fourier係数として計算する。具体的には、区間 $[0, \pi]$ を $N$ 等分して、 $\phi = \pi k/N$ ,  $k=0, 1, \dots, N-1$ , に対応する $N(\phi)$ の値を $N_k$ として、次のようにな計算する。

$$C = 2\pi \sum_{k=0}^{N-1} N_k / N \quad (4)$$

$$A_2 = 2 \sum_{k=0}^{N-1} N_k \cos(2\pi k/N) / \sum_{k=0}^{N-1} N_k \quad (5)$$

$$B_2 = 2 \sum_{k=0}^{N-1} N_k \sin(2\pi k/N) / \sum_{k=0}^{N-1} N_k \quad (6)$$

図2は乱数を発生して作成された非等方性ランダムパターンである。これに平行線を重ねて交点数を数えたデータが図3に示してある。(規格化してある。) ただし走査の方向は $N=16$ とし、走査の間隔は一辺の $1/22$ とした $T_2$ 。図3の実線は2次の近似 $N(\phi)/\int_0^{2\pi} N(\phi) d\phi = 1 + A_2 \cos 2\phi + B_2 \sin 2\phi$ を示したもので、この場合 $A_2 = -0.17213$ ,  $B_2 = 0.06845$ である。 $T_2$ は対応する分布密度 $f(\theta)$ を示したものである。このように、平行線走査によつて交点数さえわかれば、分布密度(この場合は2次までの調和成分)が容易に求まる。特に「対称軸」などを知るには2次まで十分である。

### 3. 面の回転による変換

面の傾きを考える。Witkin同様、正射影のみを考える。ある面上にズラ軸を考え、原点を通り、ズラ軸との角をなす直線とを引く。この直線の回りに面を角度 $\theta$ だけ(どちらの向きでも)回転し、その回転した面上のテキスチャをもとの面上に正射影する。この操作によつて、ズラ面上のテキスチャはしと垂直な方向には

cosのだけ縮出がしと平行な方向の長さは不变である。(したがつて問題は、そのようにな変換されたテキスチャのみを見て、 $\theta$ を知ることである。 $\theta$ を「スラント」、 $\theta$ を「ティルト」とよぶ。)

上に述べた変換を具体的に書けば

$$\begin{bmatrix} x' \\ y' \end{bmatrix} = \begin{bmatrix} 1 - (1 - \cos \theta) \sin^2 \theta & (1 - \cos \theta) \sin \theta \cos \theta \\ (1 - \cos \theta) \sin \theta \cos \theta & 1 - (1 - \cos \theta) \cos^2 \theta \end{bmatrix} \begin{bmatrix} x \\ y \end{bmatrix} \quad (7)$$

である。さて、もとの面上のテキスチャの分布密度を $f(\theta)$ とすれば、変換後の分布密度 $f'(\theta')$ は次のようになら。

$$f'(\theta') = \frac{L(\theta)}{\det T} f(\theta) / \frac{d\theta'}{d\theta} \quad (8)$$

ただし $T$ は式(7)の係数行列である。

$$L(\theta) = \sqrt{n^T T^T T^T n} \quad (9)$$

$$\frac{d\theta'}{d\theta} = \det [T^T / L(\theta)]$$

$$+ L(\theta) (n - T^T T n / L(\theta)^2)^T T n / n^T T^T T n \quad (10)$$

ただし $n = (\cos \theta, \sin \theta)^T$ であり $T$ は転置を表す。 $\theta$ と $\theta'$ との関係は

$$n' = T n / L(\theta) \quad (11)$$

より定まる。(詳細は金谷[2][3]。)

このように変換は複雑な形となるが、冒頭に述べたように反復探索を用ひず、解析的に処理しようとするれば、数学的な技巧が必要となる。それは「線形近似」である。(数学的にはよくいえば「無限小生成作用素」、物理学では「擾動」ともよばれる。) この場合、面の傾き角、すなむちスラント $\theta$ が小さくと考えて、Taylor展開

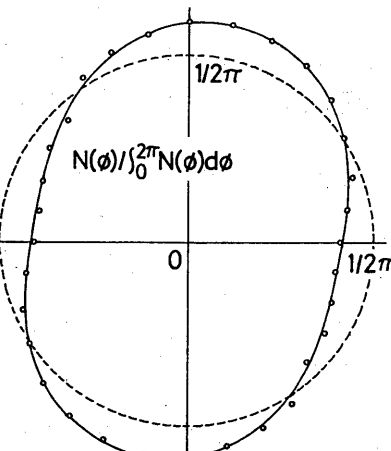


図3. 交点数のデータ。

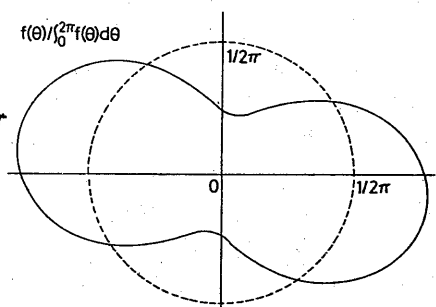


図4. 分布密度(の低周波成分)。

$\cos \sigma = 1 - \sigma^2/2 + \sigma^4/24 - \dots$  の  $\sigma^2$  の項までで打ち切る。そして以下  $\sigma^4$  以上の項を省略する。これは  $\pi/4 < \theta < \pi/4$  でかなりよき近似であることが期待される。(実際そうである。) もうひとつこの技巧は初期の分布密度の 2 次までの調和成分のみを考えることである、初期の分布密度を次のようになく。

$$f(\theta) = \frac{C}{2\pi} [1 + a_2 \cos 2\theta + b_2 \sin 2\theta] \quad (12)$$

すると、面の回転、射影による変換により、これは次のようになる。(本論文の核心!)

$$f(\theta') = \frac{C'}{2\pi} [1 + a'_2 \cos 2\theta' + b'_2 \sin 2\theta' + a'_4 \cos 4\theta' + b'_4 \sin 4\theta'] + O(\sigma^4) \quad (13)$$

$$c' = C \left[ 1 + \frac{1}{4} \sigma^2 \left( 1 + \frac{1}{2} (a_2 \cos 2\tau + b_2 \sin 2\tau) \right) \right] \quad (14)$$

$$\left. \begin{aligned} a'_2 &= a_2 + \frac{1}{4} \sigma^2 [3 \cos 2\tau - \frac{1}{2} a_2 (a_2 \cos 2\tau + b_2 \sin 2\tau)] \\ b'_2 &= b_2 + \frac{1}{4} \sigma^2 [3 \cos 2\tau - \frac{1}{2} b_2 (a_2 \cos 2\tau + b_2 \sin 2\tau)] \end{aligned} \right\} \quad (15)$$

$$\left. \begin{aligned} a'_4 &= \frac{5}{2} \sigma^2 [a_2 \cos 2\tau - b_2 \sin 2\tau] \\ b'_4 &= \frac{5}{2} \sigma^2 [a_2 \sin 2\tau + b_2 \cos 2\tau] \end{aligned} \right\} \quad (16)$$

したがって、Witkin のようになら、初期等方性  $f(\theta) = 1/2\pi$  を仮定すれば、変換後は

$$f(\theta') = \frac{C}{2\pi} \left( 1 + \frac{1}{4} \sigma^2 \right) \left[ 1 + \frac{3}{4} \sigma^2 (\cos 2\tau \cos 2\theta' + \sin 2\tau \sin 2\theta') \right] + O(\sigma^4) \quad (17)$$

となる。これと式(2), (3), 定義(4), (5), (6) を比較すれば、われわれの特徴量、 $C$ ,  $A_2$ ,  $B_2$  と  $(\sigma, \tau)$  との間の関係が次式で与えられる。

$$C = 4c \left( 1 + \frac{1}{4} \sigma^2 \right), \quad A_2 = -\frac{1}{4} \sigma^2 \cos 2\tau, \quad B_2 = -\frac{1}{4} \sigma^2 \sin 2\tau \quad (18)$$

やえに計算すれば、計測データ  $A_2, B_2$  より面の傾き  $(\sigma, \tau)$  が次式で求まる。

$$\sigma = \pm 2 (A_2^2 + B_2^2)^{1/4}, \quad \tau = \begin{cases} \frac{1}{2} \tan^{-1}(B_2/A_2) & A_2 < 0 \\ \frac{\pi}{2} + \frac{1}{2} \tan^{-1}(B_2/A_2) & A_2 > 0 \end{cases} \quad (19)$$

(ただし  $\tan^{-1}$  は主値、すなはち  $-\pi/2 < \tan^{-1} \leq \pi/2$  である。) も  $(A_2 = 0 \text{ 且し } B_2 > 0)$  のとき  $\tau = -\pi/4$ ,  $B_2 < 0$  のとき  $\tau = \pi/4$ . も  $(A_2 = B_2 = 0)$  且し  $\tau$  は定義されない。(面の傾きが 0 だから。)

(手順のまとめ) (i) 方向  $\theta = \pi k/N$  に平行線を走査して発生数  $N_k$ ,  $k = 0, 1, 2, \dots, N-1$  を求める。 (ii) 式(5), (6) により特徴量  $A_2, B_2$  を計算する。 (iii) 面の傾きは式(19)で指定される。(あわづ)

例として図 2 を考えてみると、すでに  $A_2, B_2$  は得られているので式(19)に代入すれば  $\sigma = \pm 49.3^\circ$ ,  $\tau = -10.8^\circ$  となる。(このティルトでは図 4 の分布密度の長軸方向にはかなうなつ。) もろろんこれは  $\sigma^2$  に関する線形理論であるが、 $\sigma$  の値をもう精度よく求めらる必要があるなう、最初に得られたのてに基りて像を復元すればよい。すると面の傾きは微小となるから同じ手順によつて補正を加える。等、いろいろ目的、精度に応じて他の手法と組み合わせることができる。

#### 4. 面の運動の検出

式(12)～(16)のような扱いをすれば、何も初期分布が等方性であることを仮定する必要はない。(Witkin のような扱いでは無理である。) 実際、工業製品等に現れる人工のテキスチャは規則的で独特の異方性をもつことがある。このような場

合、もとのテキスチャを知、であればそれを斜めから見ても、傾き角をただちに知ることができ。これは面が運動する場合などに生じることであり、運動前(視点12正対)と運動後(微小な移動)とかく、その相対的動きを知ること12有用である。(式(15)を解く。)(i)運動前と運動後の特徴量と同じよう12して求め、それを $A_2, B_2, A'_2, B'_2$ とする、(ii)面の傾きを表わすスラント $\sigma$ とティルトは次式で与えられる。

$$A = \left(\frac{2}{3} - B_2^2\right)(A'_2 - A_2) + A_2 B_2 (B'_2 - B_2) \quad (20)$$

$$B = A_2 B_2 (A'_2 - A_2) + \left(\frac{2}{3} - A_2^2\right)(B'_2 - B_2) \quad (21)$$

$$\sigma = \pm 2(A^2 + B^2)^{1/4} / \left| \frac{2}{3} - A_2^2 - B_2^2 \right|^{1/2} \quad (22)$$

$$\tau = \begin{cases} \frac{1}{2} \tan^{-1}(B/A) & A < 0 \\ \frac{\pi}{4} + \frac{1}{2} \tan^{-1}(B/A) & A > 0 \end{cases} \quad (23)$$

( $\tan^{-1}$  は主値。 $A=0$  のときは前と同じ12扱う。) 例として図5(a), (b)を考える。(b)は(a)を $\tau = 45^\circ$ の軸の回りに $\sigma = 30^\circ$ だけ回転したものである。前と同じよう12-辺の $1/22$ の間隔の平行線で走査して交点数を数える。これで18方向12つで行な、式(20)~(22)12代入したところ $\sigma = \pm 32^\circ, \tau = 45.7^\circ$ を得た。近似の割には極めてより精度といえる。

以上は面内回転(画面に垂直な軸の回)の回転)を考えていな。一般的な3次元回転は、 $\tau$ による傾きを得た後、ある $\omega$ だけ回転すること12よ、て得られる。この場合は式(14)(15)を利用すれば3つの特徴量 $C, A_2, B_2$ から3つのパラメータ $\sigma, \tau, \omega$ を決めることができる。式(15)12による変換が行なわれた後に图形を $\omega$ だけ回転すれば

$$A'_2 \rightarrow A'_2 - 2\omega b_2 + O(\omega^2) \quad (24)$$

$$b'_2 \rightarrow b'_2 + 2\omega a_2 + O(\omega^2) \quad (25)$$

となる。ところが式(14)(15)は $O(\omega^4)$ を省略して得られていくから、 $\omega = O(\omega^2)$ 程度は小さくなければならない。このとき $\sigma, \tau, \omega$ は次のよう12定まる。

$$\sigma = \pm \left( \frac{C'}{C} - \frac{\|A\|^2 - (A, A')}{\|A\|^2 - 2/3} - 1 \right)^{1/2} \quad (26)$$

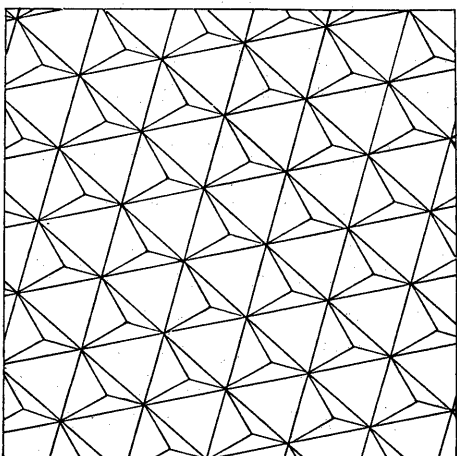
$$\tau = T_0 + \frac{1}{2} \cos^{-1} \frac{2}{3\|A\|} \left( \frac{(C/C-1)(\|A\|^2 - 2/3)}{\|A\|^2 - (A, A')} - 1 \right) \quad (27)$$

$$\omega = \frac{[A, A'] - \frac{1}{4} \sigma^2 \|A\| \sin 2(\tau - T_0)}{2\|A\|^2} \quad (28)$$

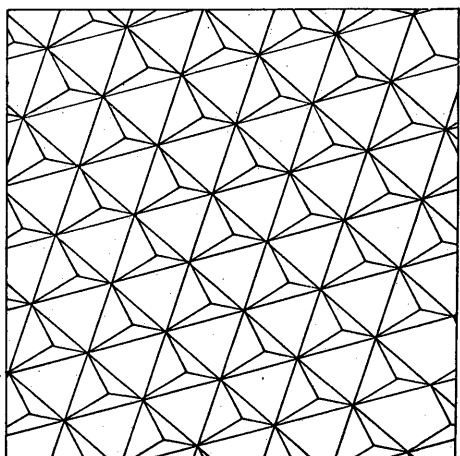
$t_2$  だし

$$\|A\| = \sqrt{A_2^2 + B_2^2}, (A, A') = A_2 A'_2 + B_2 B'_2 \quad (29)$$

$$[A, A'] = A_2 B'_2 - B_2 A'_2$$



(a)



(b)

図5. ある人工的テキスチャの運動前(a)とその運動後(b) ( $\sigma = 30^\circ, \tau = 45^\circ$ )

という表記を用いた。また  $T_0$  は

$$\cos 2T_0 = -\frac{A_2}{|A||}, \sin 2T_0 = -\frac{B_2}{|A||} \quad (27)$$

によ、 $\theta$  定まる角度である。ただし  $\cos^{-1}$  の多価性によ、2組の解が得られるので  $|\omega|$  の小さきほうの組を選ぶ。

以上は  $w$  が  $\theta^2$  程度の大きさときであるが、 $w$  が  $\theta^2$  に比較して小さくなきときは次のようになる。まず式(26)で  $\theta \approx 0$  とすると  $w \approx [A, A'] / 2|A|^2$  を得る。そこでこの角度を  $w_0$  とあき、第一近似とし、運動後の図形を  $-w_0$ だけ回転する。このことは

$$\begin{aligned} C' &\rightarrow C' \\ a'_1 &\rightarrow a'_1 \cos w_0 + b'_1 \sin w_0 \\ b'_1 &\rightarrow -a'_1 \sin w_0 + b'_1 \cos w_0 \end{aligned} \quad \left. \right\} \quad (28)$$

とすることに相当する。このようして得られた  $C', a'_1, b'_1$  を用ければ  $C, a_1, b_1$  に対する  $w$  は極めて小さくなるとなる。そこで式(24)～(26)によ、 $\theta, T, w$  を求めろ。求める解に直すには  $w \rightarrow w + w_0$  とすればよい。(しかし、この方法では  $\theta^2 \ll |\omega|$  でないと別の解へ跳ぶ恐れがある。)

図6は図5-(b)をさしつけた  $w = -10^\circ$  面内回転したものである。これに式(24)～(26)を適用すると  $\theta = \pm 32.9^\circ$ ,  $T = 37.7^\circ$ ,  $w = -10.4^\circ$  と得た。厳密にいふと真のでは  $35^\circ \leq T \leq 45^\circ$  以外では理論的には定ま

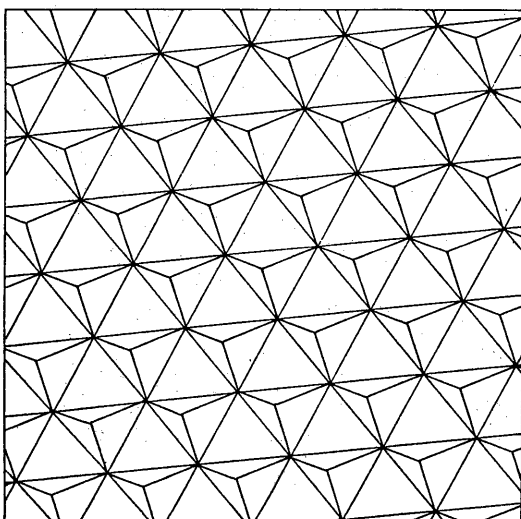


図6. 図5-(b)を面内回転。 $(w = -10^\circ)$

るなりので、このほほ中点を与えての値はより近似値であるといえる。

### 5. 一般の位置の運動

前節では運動前は視点に正対(画面に平行)であると仮定した。面が一般の位置で運動しても同じ解析ができるこことを示そう。面のグラミエニットを  $(p, g)$  とする。すなわち面の勾配が  $x$  軸に沿って  $p$ ,  $y$  軸に沿って  $g$  とする。(視点に近づく方向を正とする。)いま、面が空間を運動しても、時刻  $t$  でのグラミエニットが  $(p, g)$ , 角回転速度ベクトルを  $(\omega_1, \omega_2, \omega_3)$  とする。このときの特徴量を  $C, A_2, B_2$  とし、時刻  $t+dt$  におけるそれらを  $C', A'_2, B'_2$  とする。 $\dot{C} = (C' - C)/dt$ ,  $\dot{A}_2 = (A'_2 - A_2)/dt$  等として  $(A, \dot{A}) = A_2 \dot{A}_2 + B_2 \dot{B}_2$  等とすれば角速度ベクトルは次のようになる(cf. 金谷[4])

$$\Delta = B_2(g^2 - p^2) + 2A_2p_b \quad \left. \right\} \quad (29)$$

$$\Gamma = \dot{C}/C, \Lambda = (A, \dot{A})/( \frac{2}{3} - |A|^2 ) \quad \left. \right\} \quad (30)$$

$$\omega_1 = \frac{4}{3\Delta} [\frac{3}{2}(\Gamma - \Lambda)(A_2p + B_2g) - \Lambda p] \quad \left. \right\} \quad (31)$$

$$\omega_2 = \frac{4}{3\Delta} [\frac{3}{2}(\Gamma - \Lambda)(B_2p - A_2g) - \Lambda g] \quad \left. \right\} \quad (31)$$

$$\omega_3 = \frac{1}{2|A|^2} [(A, \dot{A}) + \{(|A|^2 - \frac{1}{2}A_2)p - \frac{1}{2}B_2g\}] \omega_1 \quad \left. \right\} \quad (31)$$

$$- \left\{ \frac{1}{2}B_2p - (|A|^2 + \frac{1}{2}A_2)g \right\} \omega_2 \quad \left. \right\} \quad (31)$$

これから  $t+dt$  におけるグラミエニット  $(p', g')$  が次のようになる。

$$p' = p + (pg\omega_1 - (p^2 + 1)\omega_2 - g\omega_3)dt \quad \left. \right\} \quad (32)$$

$$g' = g + (g^2 + 1)\omega_1 - pg\omega_2 + p\omega_3)dt \quad \left. \right\} \quad (32)$$

以上を次々と繰り返せばある時刻までの面の向き  $(p, g)$  をえあれば、以後の次々の時刻での面の向きが逐次計算できることになる。(誤差を少くするよし計算手順をいろいろ工夫することもできる。しかし、これはこの方法の利用の目的や対象を考慮する必要があるので本報告の範囲を越えるため省略し、原理の指摘にとどめる。)

## 6.まとめ

### 手法の特徴12つについて

- (i) すべてが直接的な公式によつて表わされており、反復探索を含まない。これは計算時間の大きな節約である。
- (ii) 運動を検出するのに、どの点がどの点に移動したかとつた対応関係を知る必要がある。通常、この対応関係の決定に反復探索を含んだかなりの計算時間が必要であるから、この点でもすぐれてゐる。
- (iii) 運動を検出するのに画像を保持する必要がない。各時刻で特徴量  $C, A_2, B_2$  を計算すれば画像は消去してよい。2枚の画像を比較したり、何つかの相関をとしたりしなかつかるのである。これは記憶領域の節約につながる。
- (iv) 平行移動に不適である。 $C, A_2, B_2$  は画像が上下左右に平行移動しても一定、すなはち「不適特徴量」である。画像上の絶対的位置座標は重要でなくなり、画像入力装置を厳密に固定する必要がある。対応関係を計算するときには常に平行移動と回転とを分離する必要が生じる。(すなはち対応関係はあまりにも多くの情報をもつ過ぎている。)
- (v) 局所誤差に安定である。対応関係を算出するときは対応点を至近くとると局所的な誤差に大きく影響される。(したがつて、いろいろの対応を計算して平均をとる等の必要がある。ところが特徴量  $C, A_2, B_2$  ははじめから画像全体よりのデータの平均となつてゐるから、局所誤差に左右されにくくなつ。

### 残された課題

- (i) 交点数を数えるアルゴリズム12つについて。まず走査する方向を近似する要素のウェイプを作り、それに沿つて交点数を数えてやく。線画の各線がある程度の大きさをもつて表現されていれば問題がないが、そうでない場合、数え落しを防ぐための工夫が必要であろう。場合によつては線画にする必要はない、閾値処理によつて濃淡画像を2値画像に直し、濃度が変化する回数を数えてやること。その他いろいろの可能性を考えられる。あるいは別の処理によつて分布密度  $f(\theta)$  が直接求まつてゐるならそれを利用してもよい。
- (ii) 精度について。精度を左右する要因として①走査の間隔、②走査方向の数、③分布密度の高調波成分の影響、④ $\theta, \psi$  の大きさ、が考えられる。①②はいくつとも整節できるから問題ない。③は2次の成分の利用によるためには起こることであり、例えば、ある角度の区間に対応する線素がまことにたりといふような変則的な場合は大きな高調波が現れ、無視できなくなる。④は述べたよつて線形近似の影響である。したがつて実用上は他の情報とあわせて種々の補正手段と組み合せて用ひることになるであろう。
- (iii) テキスチャのない場合(→全谷[4])、正射影ではなく投影図の場合(→全谷[5])。

## 文 献

- [1] A. P. Witkin, Recovering surface shape and orientation from texture, Artificial Intelligence, 17 (1981), 17 - 45.
- [2] K. Kanatani, Stereological determination of structural anisotropy, Int. J. Engng Sci. (in press).
- [3] K. Kanatani, Detection of Surface Orientation and Motion from Texture by a Stereological Technique, Technical Report CS-83-3, Department of Computer Science, Gunma University, 1983.
- [4] K. Kanatani, Tracing Surface Motion from Projection without Knowing Correspondence, Technical Report CS-83-5, Department of Computer Science, Gunma University, 1983.
- [5] K. Kanatani, Tracing Surface Motion from Perspective by Line Integrals, Technical Report CS-83-6, Department of Computer Science, Gunma University, 1983.

## 付録. 分布密度とその変換のテンソルによる一般的表現

分布密度や交点数のデータを特定の座標軸からの角度ではなく単位ベクトル  $n, m$  等を用いて表わす。分布密度  $f(n)$  の Fourier 級数は次のようになら表わせる。

$$f(n) = \frac{c}{2\pi} [1 + D_{ij} n_i n_j + D_{ijk\ell} n_i n_j n_k n_\ell + \dots] \quad (1)$$

すなわち  $m$  次の Fourier 級数は  $m$  階のテンソルである。これを「アブリックテンソル」とよぶことにする。 $c, D_{i_1 \dots i_m}$  は  $f(n)$  から次のように計算される。

$$c = \int f(n) dn, \quad D_{i_1 \dots i_m} = 2^m N_{i_1 \dots i_m} \quad (2)$$

ただし  $\int dn$  は単位円周上の不变測度に関する積分、すなわち極座標で  $\int_0^{2\pi} d\theta$  のことである。 $N_{i_1 \dots i_m}$  は次式で定義され、「モードベクトルテンソル」である。

$$N_{i_1 \dots i_m} = \int n_{i_1} n_{i_2} \dots n_{i_m} f(n) dn / c \quad (3)$$

指標に現れる  $\{\}$  は「偏差成分」を表す。すなわち、ある  $m$  階対称テンソル  $A_{i_1 \dots i_m}$  が与えられたとき、その偏差成分とは

$$\begin{aligned} A_{i_1 \dots i_m} &= C_0^n A_{i_1 \dots i_m} + C_2^n \delta_{i_1 i_2} A_{i_3 \dots i_m j j} + C_4^n \delta_{i_1 i_2} \delta_{i_3 i_4} A_{i_5 \dots i_m k k j j} \\ &+ \dots + C_n^n \delta_{i_1 i_2} \delta_{i_3 i_4} \dots \delta_{i_{m-2} i_{m-1}} A_{i_1 i_2 i_3 i_4 \dots i_{m-2} j j} \quad (j_1 j_2 \dots j_{m/2}) \quad C_m^n = \frac{(-1)^{m/2}}{2^m} \frac{n}{n-m/2} \binom{n-m/2}{m/2} \end{aligned} \quad (4)$$

ここで  $\delta_{ij}$  は Kronecker テルタ、( ) は指標の対称化を表す。偏差成分は「偏差テンソル」(任意の指標にわたる縮約が 0) である。Buffon 変換は次の形となる。

$$N(m) = \int |m \cdot n| f(n) dn \quad (5)$$

$$\int |m \cdot n| m_{i_1 \dots i_m} dn = \frac{4}{a_n} m_{i_1 \dots i_m}, \quad a_n = (-1)^{n/2+1} (n^2 - 1) \quad (6)$$

空間の変形が一次線形変換  $x'_i = A_{ij} x_j$  で表わされるとする。 $F_{ij}$  (変形テンソル),  $e_{ij}$  (ひずみテンソル),  $\tilde{e}_{ij}$  (偏差ひずみテンソル),  $r_{ij}$  (回転テンソル) が次のよう定義される。([] は指標の反対称化を表す。)

$$A_{ij} = \delta_{ij} + F_{ij}, \quad F_{ij} = e_{ij} + r_{ij}, \quad e_{ij} = f_{(ij)}, \quad r_{ij} = f_{(ij)}, \quad e_{ij} = \tilde{e}_{ij} + \frac{1}{2} e_{kk} \delta_{ij}, \quad \tilde{e}_{ij} = e_{(ij)}$$

このとき、単位ベクトル  $n$  はその長さが  $1 + e_{kk}/2 + \tilde{e}_{ij} n_i n_j + O(F^2)$  となり、その方向を単位ベクトル  $n'$  とすれば次のようになる。

$$n'_i = n_i + \tilde{e}_{ij} n_j + r_{ij} n_j - \tilde{e}_{k\ell} n_k n_\ell n_i + O(F^2), \quad dn'/dn = 1 - 2 \tilde{e}_{ij} n_i n_j + O(F^2) \quad (7)$$

変形前の分布密度が  $f(n) = \frac{c}{4\pi} [1 + D_{ij} n_i n_j]$  であれば変形後の分布密度  $f(n')$  は次のようになる。

$$f(n') = \frac{c'}{4\pi} [1 + D'_{ij} n'_i n'_j + D'_{ijk\ell} n'_i n'_j n'_k n'_\ell] + O(F^2)$$

$$c' = c (1 - \frac{1}{2} e_{kk} + \frac{1}{4} \tilde{e}_{ij} D_{ij})$$

$$D'_{ij} = D_{ij} + 3 \tilde{e}_{ij} - \frac{1}{4} \tilde{e}_{k\ell} D_{k\ell} D_{ij} - 2 D_{ik} r_{kj}$$

$$D'_{ijk\ell} = -5 \tilde{e}_{ij} D_{k\ell} + \frac{10}{3} \delta_{ij} \tilde{e}_{k\ell} D_{mn} - \frac{5}{12} \delta_{ij} \delta_{k\ell} \tilde{e}_{mn}$$